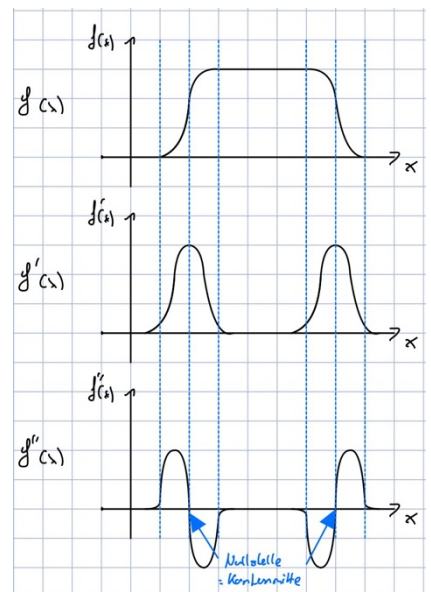


1.4 Kantendetektion

- a.) Definieren Sie den Begriff Gradient und erläutern Sie welche Informationen er bezüglich einer potentiellen Kante enthält.
- Der Ergebnis Vektor der partiellen Ableitungen entlang einer der Koordinatenrichtungen wird als Gradient bezeichnet. D.h. verfolge die Intensitätsänderungen entlang einer Zeile oder Spalte
 - Es ist eine Möglichkeit, um Kanten zu detektieren.
 - Dieser ist rotationsinvariant
 - Der Betrag des Gradienten entspricht der Stärke des Anstiegs
- b.) Die am häufigsten verwendeten Kanten-Operatoren (Prewitt, Sobel) sind separabel. Erläutern Sie was diese Eigenschaft bedeutet und welche Auswirkung dies bei der Implementierung als Filter hat.
- Das bedeutet das man einen 2D-Filter der aufs Bild angewendet werden soll in zwei 1D-Filter separieren kann und die dann hintereinander auf das Bild anwendet.
 - Das sorgt dafür das wir eine Art Caching Effekt haben, somit sparen wir uns mathematische Operationen.
 - Je größer der Filter ist desto größer wird der Effekt.
- c.) Wie kann man mit der 2ten Ableitung Kanten detektieren? Vor-/Nachteile
- Die zweite Ableitung ist besser geeignet, wenn es langsame Helligkeitsänderungen gibt. Die zweite Ableitung ist viel empfindlicher
 - VT: Kantendicke wird eliminiert!
 - NT: etwas aufwändiger
- d.) Erläutern Sie kurz das Grundprinzip von Unsharp Masking (USM). Welchen Nachteil hat das Verfahren?
- Für die Kantenschärfung, soll ein künstlicher Mach-Band Effekt hinzugefügt werden
 1. Bild glätten durch z.B. Gaus-Filter --> für die Kantenschärfung
 2. Subtraktion der geglätteten Versionen des Originalbilds
 - M: Maske, I: Bild, H: Filter
 - $M = I - I * H$
 3. Addition der gewichteten Maske zum Originalbild
 - A: Schärfungsgrad
 - $I' = I + aM$
 - NT: Bereiche ohne Kanten verstärktes Rauschen und Kanten können zu scharf werden
- e.) Erläutern Sie anhand einer Skizze wie mit Hilfe einer geschätzten zweiten Ableitung eine Kantendetektion realisiert werden kann. In welchen Fällen ist diese Vorgehensweise besser geeignet als ein Sobel- oder Prewitt-Operator.
- Die zweite Ableitung ist besser geeignet, wenn es langsame Helligkeitsänderungen gibt. Da diese viel empfindlicher ist



- f.) Erläutern Sie anhand einer ausführlichen Berechnung (also incl. Formeln) wieso die Laplace-Schärfung ein Spezialfall der USM Schärfung darstellt.

■ Laplace: $H^L = \begin{bmatrix} 0 & 1 & 0 \\ 1 & -4 & 1 \\ 0 & 1 & 0 \end{bmatrix} = \begin{bmatrix} 0 & 1 & 0 \\ 1 & 1 & 1 \\ 0 & 1 & 0 \end{bmatrix} - 5 \begin{bmatrix} 0 & 0 & 0 \\ 0 & 1 & 0 \\ 0 & 0 & 0 \end{bmatrix} = 5 \cdot (\tilde{H}^L - \delta)$

Glättung *besser gegen Rauschen*

■ Damit entspricht die Laplace Schärfung

$$\begin{aligned} I' &= I - wH^L * I \\ &= I - 5w(\tilde{H}^L * I - I) \\ &= I + 5w(I - \tilde{H}^L * I) \\ &= I + 5wM \end{aligned}$$

einer USM Schärfung mit

$$\tilde{H}^L = \frac{1}{5} \begin{bmatrix} 0 & 1 & 0 \\ 1 & 1 & 1 \\ 0 & 1 & 0 \end{bmatrix} \quad \text{und} \quad a = 5w$$



Canny

- a.) Geben Sie die strukturelle Funktionsweise des Canny-Algorithmus gemäß der Vorlesung als Pseudocode an
Gesamt-Algorithmus:

```

1: CannyEdgeDetector( $I, \sigma, t_{hi}, t_{lo}$ )
   Input:  $I$ , a grayscale image of size  $M \times N$ ;
    $\sigma$ , scale (radius of Gaussian filter  $H^{G,\sigma}$ );
    $t_{hi}, t_{lo}$ , hysteresis thresholds ( $t_{hi} > t_{lo}$ ).
   Returns a binary edge image of size  $M \times N$ .

2:  $\bar{I} \leftarrow I * H^{G,\sigma}$  gegättelt  $\triangleright$  blur with Gaussian of width  $\sigma$ 
3:  $\bar{I}_x \leftarrow \bar{I} * [-0.5 \ 0 \ 0.5]$   $\triangleright$  x-gradient
4:  $\bar{I}_y \leftarrow \bar{I} * [-0.5 \ 0.5 \ 0]$   $\triangleright$  y-gradient
5:  $(M, N) \leftarrow \text{Size}(I)$ 
6: Create maps:
7:    $E_{mag} : M \times N \mapsto \mathbb{R}$  Speicher  $\triangleright$  gradient magnitude
8:    $E_{nms} : M \times N \mapsto \mathbb{R}$  allokiert  $\triangleright$  maximum magnitude
9:    $E_{bin} : M \times N \mapsto \{0, 1\}$   $\triangleright$  binary edge pixels
10: for all image coordinates  $(u, v) \in M \times N$  do
11:    $E_{mag}(u, v) \leftarrow [\bar{I}_x^2(u, v) + \bar{I}_y^2(u, v)]^{1/2}$ 
12:    $E_{nms}(u, v) \leftarrow 0$ 
13:    $E_{bin}(u, v) \leftarrow 0$ 

```

Schritt 1: Vorverarbeitung

```

14: for  $u \leftarrow 1, \dots, M-2$  do
15:   for  $v \leftarrow 1, \dots, N-2$  do
16:      $d_x \leftarrow \bar{I}_x(u, v), \quad d_y \leftarrow \bar{I}_y(u, v)$ 
17:      $s_\theta \leftarrow \text{GetOrientationSector}(d_x, d_y)$  Suchrichtung  $\triangleright$  Alg. 6.2
18:     if  $\text{IsLocalMax}(E_{mag}, u, v, s_\theta, t_{lo})$  then  $\triangleright$  Alg. 6.2
19:        $E_{nms}(u, v) \leftarrow E_{mag}(u, v)$  only keep local maxima
20:   for  $u \leftarrow 1, \dots, M-2$  do
21:     for  $v \leftarrow 1, \dots, N-2$  do weiterer Schwellwert
22:       if  $(E_{nms}(u, v) \geq t_{hi}) \wedge (E_{bin}(u, v) = 0)$  then
23:          $\text{TraceAndThreshold}(E_{nms}, E_{bin}, u, v, t_{lo})$   $\triangleright$  Alg. 6.2
24: return  $E_{bin}$ .

```

1 Pixel dazwischen erlaubt

- b.) Welche Parameter als Eingabe notwendig

- I : Originalbild, σ , t_{hi} : Schwellwert für lokale Maxima, t_{lo} : Schwellwert für lokale Minima

- c.) Canny-Edge-Kantendetektion und -Verfolgung erklären

1) Vorverarbeitung:

- Im ersten Schritt wird das Eingangsbild mit einem Gauss-Filter gegättet, um Rauschen zu entfernen. (σ Breite)
- Dann werden die Gradienten für die x- und y-Achse bestimmt und der Gradientenbetrag sowie die Richtung berechnet.

2) Kantenlokalisierung:

- Im zweiten Schritt werden lokale Maxima entlang der Gradientenrichtung als Kantenpunkte markiert und die Kantendicke entfernt.
- ➔ Kantendicke entfernt

3) Kantenselektion und -verfolgung

- Im letzten Schritt werden zusammenhängende Kantenketten gebildet, unter Verwendung eines Hysteresis Schwellwerts.
- ➔ Aufgabe: Finde also rekursiv diejenigen Pixel, deren Nachbapixel auch Kantenkandidaten sind

- d.) Erläutern Sie die Funktionsweise von `getOrientationSector()` und die Parameter die die Funktion entgegennimmt.

- Es gibt die Richtung/Orientierung von Kanten an.
- (Es geht darum, die Gradientenrichtungen der Pixel in verschiedene Sektoren einzuteilen.)
- dx : Gradient x-Richtung, dy : Gradient y-Richtung

- e.) Schreiben Sie den Pseudocode für `getOrientationSector()`

```

1: GetOrientationSector( $d_x, d_y$ )
   Returns the orientation sector  $s_\theta$  for the 2D vector  $(d_x, d_y)^T$ . See Fig.
   6.12 for an illustration. Konstant
2:  $\begin{pmatrix} d'_x \\ d'_y \end{pmatrix} \leftarrow \begin{pmatrix} \cos(\pi/8) & -\sin(\pi/8) \\ \sin(\pi/8) & \cos(\pi/8) \end{pmatrix} \cdot \begin{pmatrix} d_x \\ d_y \end{pmatrix}$   $\triangleright$  rotate  $\begin{pmatrix} d_x \\ d_y \end{pmatrix}$  by  $\pi/8$ 
3: if  $d'_y < 0$  then
4:    $d'_x \leftarrow -d'_x, \quad d'_y \leftarrow -d'_y$   $\triangleright$  mirror to octants 0, ..., 3
5:    $s_\theta \leftarrow \begin{cases} 0 & \text{if } (d'_x \geq 0) \wedge (d'_y \geq d'_x) \\ 1 & \text{if } (d'_x \geq 0) \wedge (d'_x < d'_y) \\ 2 & \text{if } (d'_x < 0) \wedge (-d'_x < d'_y) \\ 3 & \text{if } (d'_x < 0) \wedge (-d'_x \geq d'_y) \end{cases}$  Bedingungen
6: return  $s_\theta$ .  $\triangleright$  sector index  $s_\theta \in \{0, 1, 2, 3\}$ 

```

f.) Erläutern Sie die Funktionsweise von isLocalMax() und die Parameter, die die Funktion entgegennimmt.

- Es bestimmt, ob ein gegebener Pixel ein lokales Maximum auf einer Kante darstellt.
- Es geht darum, den Gradientenwert des Pixels mit dem Gradientenwert der benachbarten Pixel zu vergleichen. (Alle weiteren Elemente werden auf 0 gesetzt)
- E_{mag} : Einträge der Gradienten-Beträge
- t_{lo} : Schwellwert für lokale Minima
- s_{θ} , orientation: Richtung des Gradienten. Kriegt man von GetOrientationSector()
- u, v : Laufparameter

g.) Schreiben Sie den Pseudocode für isLocalMax()

(a) (b)

```

7: isLocalMax( $E_{\text{mag}}, u, v, s_{\theta}, t_{\text{lo}}$ )
   Determines if the gradient magnitude  $E_{\text{mag}}$  is a local maximum at
   position  $(u, v)$  in direction  $s_{\theta} \in \{0, 1, 2, 3\}$ .
8:    $m_C \leftarrow E_{\text{mag}}(u, v)$ 
9:   if  $m_C < t_{\text{lo}}$  then } wenn kleiner als Schwellwert
10:    return false
11:  else
12:     $(m_L, m_R) \leftarrow \begin{cases} (E_{\text{mag}}(u-1, v), E_{\text{mag}}(u+1, v)) & \text{if } s_{\theta} = 0 \\ (E_{\text{mag}}(u-1, v-1), E_{\text{mag}}(u+1, v+1)) & \text{if } s_{\theta} = 1 \\ (E_{\text{mag}}(u, v-1), E_{\text{mag}}(u, v+1)) & \text{if } s_{\theta} = 2 \\ (E_{\text{mag}}(u-1, v+1), E_{\text{mag}}(u+1, v-1)) & \text{if } s_{\theta} = 3 \end{cases}$ 
13:    return  $(m_L \leq m_C) \wedge (m_C \geq m_R)$ .
  
```

h.) Warum dreht man um $\pi/8$? getOrientationSector()

- Damit wir sehr einfach die Richtung des Gradienten bestimmen können statt Winkel zu bestimmen
- Wir rotieren die Gradienten, was bedeutet, dass wir $\sin()$ und $\cos()$ benutzen müssen. Das klingt zunächst schlecht, aber das tun wir für einen Winkel $\pi/8$ und nicht für einen beliebigen Winkel. Deshalb muss es nur einmal ausgerechnet werden und ist effizient